

کنترل تعقیب مسیر ربات تک بازویی انعطاف‌پذیر به روش تئوری فیدبک کمی

کیوان ترابی
دانشجوی دکترا

مسعود سبحانی
استادیار

دانشکده مهندسی مکانیک، دانشگاه صنعتی اصفهان

چکیده

انعطاف پذیر بودن اعضاء ربات ها موجب کاهش وزن و در نتیجه کاهش نیروی محرکه در مقایسه با ربات های صلب می شود. تنها عامل بازدارنده، ایجاد ارتعاشات ناخواسته به واسطه انعطاف پذیر بودن اعضاء است. در این مقاله با استفاده از تئوری فیدبک کمی، یک روش طراحی سیستم کنترل مقاوم برای یک ربات تک بازویی انعطاف پذیر ارائه شده است که در آن علاوه بر تعقیب مسیر مطلوب، توانایی پس زدن ارتعاشات ناخواسته ایجاد شده را نیز ملاحظه نموده است. در ابتدا، معادله دینامیکی حول مسیر مطلوب خطی گشته و بر حسب متغیرهای خط،تابع انتقال نامعینی برای سیستم شبیه سازی شده در نظر گرفته می شود. سپس با محدود کردن خط و اعمال محدودیتی برای جلوگیری از اشباع شدن محرک سیستم، کنترل مورد نظر به روش فیدبک کمی طراحی می شود. در انتهای از یک مثال جهت تبیین روش پیشنهادی استفاده شده است.

Trajectory Control of a Single-Arm Robot Manipulator Using Q.F.T.

M. Sobhani
Assistant Professor

K. Torabi
Ph.D. Student

Department of Mechanical Engineering, Isfahan University of Technology

Abstract

Flexibility of robot arms reduces the weight and therefore the need for large actuating power in comparison with rigid robot arms. The only shortcoming is the creation of undesirable vibrations. In this paper, a method for robust control design based on the "Quantitative Feedback Theory" is presented for a single robot arm which is able to not only track the desired trajectory but also reject undesirable vibrations. First, the dynamic equation is linearized about the desired trajectory. Then, in terms of error variations, an uncertain transfer function is derived to replace the simulated system. Next, limitations on the error and control signal for preventing actuator saturation are considered for designing the controller using "QFT". Finally, an example is presented to explain the proposed method.

۱- مقدمه

مثالی نیز جهت توضیح این روش ارائه می‌گردد.

۱- مدل دینامیکی یک ربات تک بازویی

برای به دست آوردن مدل دینامیکی یک ربات، روش‌های متعددی از قبیل تحلیل المان محدود^۳، تحلیل مودهای طبیعی^۴ [۵]، توابع تبدیل^۵ [۶] و تکنیک فشرده سازی^۶ [۷] وجود دارد. در اینجا براساس فرضیات زیر و با استفاده از روش تحلیل مودهای طبیعی، مدل مورد نظر استخراج می‌شود:

- (۱) بازوی ربات به فرم تیر یک سر درگیر اویلر- برنولی مدل می‌شود.
- (۲) حرکت ربات در صفحه x-z بررسی می‌شود.
- (۳) از تغییر شکل پیچشی تیر بر اثر اعمال پیش بار^۷ و نیز ارتعاشات پیچشی و ارتعاشات طولی بازوی ربات صرفنظر می‌شود.
- (۴) حداقل دامنه ارتعاش بازو ده در صد طول بازو در نظر گرفته می‌شود.

۲- اقتباس مدل دینامیکی

معادله ارتعاش تیر بر حسب فرض اول به صورت زیر می‌باشد:

$$EI \frac{\partial^4 W}{\partial \zeta^4} + \rho AL^4 \frac{\partial^2 W}{\partial t^2} = 0 \quad (1)$$

در معادله فوق W , W , E , L , ρ , I , t به ترتیب عبارتند از تغییر شکل نسبت به وضعیت صلب، طول بازو، سطح مقطع بازو، جرم حجمی، مدول یانگ، ممان اینرسی و $\beta = \frac{7}{L}$ می‌باشد که با مراجعه به شکل (۱) مشخص می‌گردد که β تغییر مکان در جهت x در مختصات صلب می‌باشد. با فرض متغیرهای جداشونده جهت حل معادله (۱) و جایگذاری در آن داریم:

$$W(\zeta, t) = \Phi(\zeta) \delta(t)$$

$$\delta(t) = e^{j\omega t}; \omega = \frac{\beta^4 EI}{\rho AL^4} \quad (2)$$

که β فرکانس تحریک طبیعی سیستم و Φ بردار دامنه ارتعاشی بازوی ربات است. در نتیجه:

$$\Phi(\zeta) = C_1 \sin(\beta\zeta) + C_2 \cos(\beta\zeta) + C_3 \sinh(\beta\zeta) + C_4 \cosh(\beta\zeta) \quad (3)$$

کنترل ربات‌های صنعتی امروزه امر ساده‌ای است زیرا اعضاء و قسمت‌های آن به صورتی طراحی می‌شوند که به رفتار صلب نزدیک باشند. این عامل سبب می‌شود که ظرفیت بار ماگزینم در انتهای ربات و نیز سرعت عملکرد آن کاهش و هزینه ساخت آن افزایش یابد. برای برطرف کردن این مشکلات می‌توان از بازوهای سبک و انعطاف پذیر استفاده نمود [۱]. بازوهای سبک ربات‌های انعطاف پذیر، سیستم بازوی ربات شاتل فضایی است که توسط سازمان فضایی امریکا (ناسا) ساخته شده است. به علت انعطاف پذیری بازوهای این ربات، وظایف آن از قبیل سوار کردن سازه‌های فضایی، تعمیر شاتل و غیره نسبتاً به آرامی انجام می‌پذیرد تا حداقل تغییر شکل الاستیک را دارا باشد. البته انتظار این است که با توسعه سیستم کنترل ربات‌های انعطاف پذیر، سرعت عملکرد اینگونه ربات‌ها نیز افزایش یابد.

مهم ترین وظایف ربات‌ها عبارتند از انجام جوشکاری، پاشیدن رنگ، برش لیزری و غیره. انجام اینگونه وظایف مستلزم کنترل ربات با دقت مناسب در مسیرهای یکنواخت است [۲]. با توجه به تغییرات بار در انتهای ربات و عدم قطعیت مدل دینامیکی آن، نامعینی‌های ساختاری^۸ در دینامیک واقعی یک ربات ظاهر می‌شود. در این صورت طراحی سیستم کنترل مقاوم به روش فیدبک کمی^۹ به عنوان یک راه حل مناسب در اینگونه مسائل مطرح می‌گردد. این روش در حوزه فرکانسی طرح و بررسی می‌شود و بر روش‌های کنترل پیشرفت (مانند کنترل بهینه و دیگر روش‌هایی که با متغیرهای حالت در ارتباط هستند)، برتری دارد زیرا وجود نامعینی ساختاری در فرآیند و بررسی آن در میدان متغیر حالت باعث پیچیدگی، دشواری و یا حتی غیرممکن شدن تحلیل مقادیر ویژه و دامنه تغییرات آنها می‌گردد [۲]. در حالی که اثرات نامعینی توابع انتقال در حوزه فرکانسی به مراتب ساده‌تر تجزیه و تحلیل می‌شوند. در این مقاله با استفاده از روش فیدبک کمی، کنترل‌ری برای یک ربات تک بازویی به نحوی طراحی می‌شود که ضمن پس زدن ورودی مزاحم، یک مسیر از پیش تعیین شده‌ای را نیز تعقیب نماید. در روش پیشنهادی، محدودیت سخت زمانی نیز بر روی سیگنال کنترل برای جلوگیری از اشباع شدن تحریک کننده در نظر گرفته شده است.

$$n_1(\theta, \delta, \dot{\delta}) = 2M_L \dot{\theta} (\Phi_e^T \delta) (\Phi_e^T \dot{\delta})$$

$$n_2(\theta, \delta) = -M_L \dot{\theta}^2 (\Phi_e \Phi_e^T) \delta$$

$$K = \text{diag} \{k_1, \dots, k_m\} \quad k_i = \frac{EI}{L^3} \int_0^L \left[\frac{d^2 \phi_i(\zeta)}{d\zeta^2} \right]^2 d\zeta$$

$$F = \text{diag} \{f_1, \dots, f_m\}$$

$$M(\delta) = \begin{bmatrix} m_{11}(\delta) & M_{12}^T \\ M_{12} & M_{22} \end{bmatrix}$$

که m تعداد مودهای حریک شده سیستم، m_b جرم بازو، I_0 ممان اینرسی جرمی محرك، J_0 ممان اینرسی جرمی نسبی بازو، n_1 و n_2 به ترتیب نیروهای کریولیس و گریز از مرکز، K ماتریس الاستیک بازو و F ماتریس استهلاک بازو می‌باشند.

ماتریس اینرسی نیز به طور مناسبی، به چهار بلوک مجزا تقسیم بندی شده است.

۲- خطی سازی ضرایب حول مسیر مطلوب^۸
اگر θ_d معرف مسیر مطلوب ربات تک بازویی باشد در این صورت با استفاده از دسته معادلات دوم رابطه (۵) مقدار δ_d تحت عنوان بردار مودال مطلوب به دست می‌آید. با تعریف:

$$\begin{cases} e_\theta \triangleq \theta_d - \theta \\ e_\delta \triangleq \delta_d - \delta \end{cases} \quad (6)$$

ضرایب دینامیکی رابطه (۵) را می‌توان حول مسیر مطلوب خطی نمود:

$$\begin{cases} m_{11}(\delta) = m_{11d} + a_1 e_\delta & m_{11d} = m_{11}(\delta_d) \\ n_1 = n_{1d} + b_1 e_\theta + b_2 \dot{e}_\theta + b_3 e_\delta & n_{1d} = n_1(\theta_d, \delta_d, \dot{\delta}_d) \\ n_2 = n_{2d} + c_1 e_\delta + c_2 \dot{e}_\theta & n_{2d} = n_2(\dot{\theta}_d, \delta_d) \end{cases} \quad (7)$$

در رابطه (۷) ضرایب b_i , a_i , c_i , b_1 , a_1 توابعی از مسیر حرکت و بردار مودال مطلوب و همچنینتابع پارامترهای دینامیکی مدل می‌باشند.

۳- کنترل ربات انعطاف پذیر تک بازویی
در این قسمت مقدار گشتاور لازم جهت کنترل ربات

با اعمال شرایط مرزی که در آن تغییر مکان و شبیه ابتدایی تیر صفر بوده و نیز گشتاور و نیروی برشی انتهایی تیر به ترتیب برابر با حاصلضرب شتاب زاویه‌ای انتهای ربات در اینرسی پیش بار J_L و حاصلضرب شتاب به دست می‌آید:

$$(1 + \cos\beta \cosh\beta) - M\beta (\sin\beta \cosh\beta - \cos\beta \sinh\beta) - J\beta^2$$

$$(\sin\beta \cosh\beta + \cos\beta \sinh\beta) + MJ\beta^4 (1 - \cos\beta \cosh\beta) = 0 \quad (4)$$

در رابطه فوق $J = \frac{J_L}{\rho AL^3}$ و $M = \frac{M_L}{\rho AL}$ به ترتیب جرم و اینرسی بدون بعد هستند. با یافتن فرکانس‌های ارتعاشی رابطه (۴)، دامنه ارتعاشات به دست می‌آید. سپس، با داشتن انرژی پتانسیل و جنبشی که از تغییر مکانها حاصل شده است و همچنین با استفاده از لاگرانژین، معادله دینامیکی سیستم تعیین می‌شود. (برای اطلاعات بیشتر به مراجع [۸] و [۹] رجوع شود).

$$M(\delta) \begin{bmatrix} \ddot{\theta} \\ \ddot{\delta} \end{bmatrix} + \begin{bmatrix} n_1(\dot{\theta}, \delta, \dot{\delta}) \\ n_2(\dot{\theta}, \delta) \end{bmatrix} + \begin{bmatrix} 0 \\ K\delta + F\dot{\delta} \end{bmatrix} = \begin{bmatrix} u \\ 0 \end{bmatrix}$$

$$m_{11}(\delta) = J_0 + J_L + M_L L^2 + I_0 + M_L (\Phi_e^T \delta)^2$$

$$b_{ij} = M_L L \Phi_{j-1,e} + J_L \Phi'_{j-1,e} + \sigma_{j-1}, \quad j = 2, \dots, m+1$$

$$b_{ii} = m_b + M_L L \Phi^2_{i-1,e} + J_L \Phi'^2_{i-1,e} + \sigma_{i-1}, \quad i = 2, \dots, m+1$$

$$b_{ij} = M_L \Phi_{i-1,e} \Phi_{j-1,e} + J_L \Phi'_{i-1,e} \Phi'_{j-1,e}, \quad i = 2, \dots, m+1, i \neq j \quad (5)$$

در معادله فوق:

$$\Phi_e^T = \Phi^T \Big|_{\zeta=1} = [\phi_1 \dots \phi_m] \Big|_{\zeta=1} \phi_{ie} = \phi_i(\zeta) \Big|_{\zeta=1}$$

$$(\Phi'^T)_e = [\phi'^1_{ie} \dots \phi'^m_{ie}] \quad \phi'^i_{ie} = \frac{d\phi_i(\zeta)}{d\zeta} \Big|_{\zeta=1}$$

$$\sigma_i = \rho A L^2 \int_0^1 \phi_i(\zeta) d\zeta \quad i = 1, \dots, m$$

اینجا N تابعی از پارامترهای سیستم و نیز تابع خطی از θ و e است.

در اینجا روشی جدید برای طراحی سیستم کنترل ربات تک بازویی انعطاف پذیر ارائه می شود که براساس آن دینامیک سیگنال کنترل خطا استخراج می گردد. سپس، با مدل کردن اغتشاش و نیز ایجاد مدل جدیدی هم ارز با فرم واقعی ربات، طراحی کنترلر بر حسب عملکردهای مورد نظر برای یک سیستم نامعین انجام می پذیرد. در قسمت های بعدی هر کدام از این موارد شرح داده می شود.

۳-۱-۲- دینامیک سیگنال کنترل خطا

براساس مطالب بین شده و نیز شکل (۲) میزان گشتاور لازم برای کنترل ربات به صورت زیر تعریف می شود:

$$\tau = u_d + f \quad (11)$$

که در آن f مقدار سیگنال جبران کننده خطای سیستم از مسیر مطلوب است. حال براساس تعریف ریاضی کنترلر معکوس و داشتن معادله دینامیکی واقعی سیستم، سیگنال f بر حسب خطای زاویه مفصل و بردار خطای مodal به صورت خطی به دست می آید:

$$\begin{cases} f = (m_{11}(\theta) - m_{11d}) + \dots + (n_1 - n_{1d}) \\ f = A\ddot{\theta} + B\dot{\theta} + C\dot{\delta} + Ee \end{cases} \quad (12)$$

ضرایب A و B و C و E همگی تابعی از پارامترهای دینامیکی سیستم و همچنین مسیر مطلوب و مشتقات آن می باشند و با توجه به اینکه بردار خطای مodal در ارتباط با خطای مفصل است (زابته ۱۰)، این سیگنال تابع خطی از خطای مفصل نیز می باشد.

۳-۱-۳- مدل اغتشاش سیستم

اصولاً اغتشاشات وارد بر یک ربات، به دو صورت مطرح می شوند. یک دسته به علت اثرات محیط خارج از سیستم (مانند اثر باد و یا وجود نیرو و یا گشتاورهای خارجی در طول بازو) و دسته دیگر به علت وجود عدم قطعیت در پارامترهای واقعی ربات ظاهر می شوند. یک سیستم کنترل مناسب آن است که علاوه بر پس زدن اغتشاشات خارجی، توانایی کاهش اثرات نامطلوب در تغییر ضرایب دینامیکی سیستم را نیز دارا باشد. با توجه

به صورت تابعی از زمان اقتباس می شود. با توجه به شکل (۲) میزان گشتاور و یا کنترلر مورد نظر بر حسب ترکیب دو سیگنال مجزا حاصل می گردد که عبارتند از سیگنال کنترلر معکوس^۹ ربات که از مسیر مطلوب به دست می آید و سیگنال حاصل از خطای موقعیت مفصل نسبت به مقدار مطلوب آن با در نظر داشتن مسیر مطلوب.

۳-۱-۱- کنترلر معکوس

بر حسب آنکه مسیر مطلوب در فضای کارتزین و یا در فضای مفاصل بیان شود و با توجه به الاستیک بودن بازو، دو دسته مسئله کنترل مطرح می گردد. دسته اول به نحوه طراحی کنترلرهایی می پردازد که توانایی تعقیب مسیر در فضای مفاصل^{۱۰} را دارا می باشند و دسته دوم کنترلرهایی اند که قادر به تعقیب مسیر در فضای کارتزین^{۱۱} می باشند. کنترلر معکوس مشابه با کنترلر غیرخطی ربات های صلب بدون حضور قسمت سرو کنترلر و به صورت حقیقتی با زمان^{۱۲} عمل می کند [۲، ۱۰].

۳-۱-۱-۱- کنترلر معکوس مفصل

با استفاده از مقادیر مطلوب توابع و جایگذاری در معادله دینامیکی ربات تک بازویی، سیگنال مربوط به کنترلر معکوس مفصل به دست می آید:

$$\begin{cases} m_{11d}\ddot{\theta}_d + M_{12}\ddot{\delta}_d + n_{1d} = u_d \\ M_{12}^T\ddot{\theta}_d + M_{22}\ddot{\delta}_d + K\delta_d + F_d + n_{2d} = 0 \end{cases} \quad (8)$$

که در نتیجه:

$$u_d = (m_{11d} - M_{12}M_{22}^{-1}M_{12}^T)\ddot{\theta}_d - M_{12}M_{22}^{-1}(K\delta_d + F_d + n_{2d}) + n_{1d} \quad (9)$$

با مقایسه سری دوم معادلات دینامیکی واقعی سیستم و همان دسته معادلات در حالت مطلوب و با تفربیق نمودن این دو دسته از یکدیگر، ارتباط بین بردار خطای مodal و خطای مفصل حاصل می شود:

$$\begin{cases} M_{12}^T\ddot{\theta}_d + M_{22}\ddot{\delta}_d + K\delta_d + F_d + n_{2d}(\theta_d, \delta_d) = 0 \\ M_{12}^T\ddot{\theta} + M_{22}\ddot{\delta} + K\delta + F\dot{\delta} + n_2(\dot{\theta}, \dot{\delta}) = 0 \\ M_{12}^T\ddot{e}_\theta + M_{22}\ddot{e}_\delta + K\dot{e}_\delta + F\dot{e}_\delta + N(\dot{e}_\theta, e_\delta) = 0 \end{cases} \quad (10)$$

$$\frac{\hat{f}}{\text{dist}} \triangleq G'_{\text{c}}(s) \hat{e}_{\theta}(s) \quad (18)$$

$$\frac{\hat{f}_{\text{ei}}}{\text{dist}} \triangleq \frac{-\hat{e}_{\theta}(s)}{G_p(s, \alpha)}$$

به دیاگرام جعبه‌ای شکل (۳) می‌رسیم.
در روابط (۱۸) $G_p(s, \alpha)$ تابع انتقال پروسه خطای سیستم است که باید به نحوی براساس نامعینی‌های موجود در سیستم (با ناماد سمبولیک α) مدل شود.
 $G'_{\text{c}}(s)$ نیز کنترلری است که وظیفه برآورده کردن عملکرد های مطلوب طراح را به عهده دارد و علامت $(^{\wedge})$ نیز مبین توابع زمانی در حوزه فرکانسی تحت تبدیل لاپلاس است. با مقایسه اشکال (۲) و (۳) واضح است که:

$$G_{\text{c}}(s) = \text{dist} \cdot G'_{\text{c}}(s) \quad (19)$$

۳-۱-۵- مدل‌سازی تابع انتقال پروسه خطای میدان فرکانسی

دو روش برای مدل کردن تابع انتقال نامعین وجود دارد. روش اول به صورت تحلیلی بوده و براین اساس است که با در نظر گرفتن خروجی پروسه از دسته خروجی‌های قابل قبول و به دست آوردن ورودی‌های مربوطه از معادلات دینامیکی سیستم و تقسیم نمودن تبدیل لاپلاس سیگنال خروجی‌ها به ورودی‌های معلوم، یک تابع انتقال نامعین به دست می‌آید. این روش معمولاً برای معادلات دیفرانسیلی که دارای فرم جبری غیرخطی اند کاربرد داردند [۱۱] و لذا در اینجا مورد بررسی قرار نمی‌گیرند. روش دوم که در این مقاله به کار برده شده است روش عددی که براساس قضیه تبدیل زیر بیان می‌گردد.

قضیه تبدیل

اگر x_T و y_T به ترتیب ورودی و خروجی یک پروسه در محدوده زمانی $t \in [0, T]$ و $Y_t = \{y(t)\}$; $X_t = \{x(t)\}$ مجموعه‌های توسعه یافته دلخواه (تا زمان بی‌نهایت) برای این تابع و نیز $\hat{Y}_s = \{\hat{y}(s)\}$; $\hat{X}_s = \{\hat{x}(s)\}$ تبدیل لاپلاس این تابع در حوزه فرکانسی باشند و مجموعه زیر:

$$F_s = \left\{ F(s) = \frac{\hat{y}(s)}{\hat{x}(s)} ; \hat{x} \in \hat{X}_s, \hat{y} \in \hat{Y}_s \right\} \quad (1-20)$$

به اینکه اغتشاش دسته دوم به واسطه تغییر پیش بار ربات حاصل می‌شود که در ربات‌های صلب نیز مطرح است، لذا در اینجا نیز عامل تغییر پیش بار (که در معادله فرکانسی و دامنه مودال مؤثر می‌باشد) در نظر گرفته می‌شود (معادله ۵).

$$\begin{cases} \theta = \theta_d - e_{\theta} \\ \delta = \delta_d - e_{\delta} \end{cases} \quad \text{با جایگزینی} \quad \text{و مشتقات آن در معادله دینامیکی سیستم می‌توان نوشت:}$$

$$D + f_0 = f_e \quad (12)$$

$$\begin{cases} D = u_d - u_d \\ f_0 = A_0 \dot{e}_{\theta} + B_0 \ddot{e}_{\theta} + C_0 \dot{e}_{\delta} + E_0 e_{\delta} \\ f_e = A \dot{e}_{\theta} + B \ddot{e}_{\theta} + C \dot{e}_{\delta} + E e_{\delta} \end{cases}$$

در رابطه فوق D اغتشاش ورودی به سیستم است که تابعی از مسیر حرکت ربات، مودال مربوط به آن و تغییر ضرایب دینامیکی سیستم می‌باشد. زیرنویس صفر متعلق به حالت طراحی شده اولیه و زیرنویس e مربوط به حالت واقعی سیستم است.

۳-۱-۶- مدل کنترلی

اینک با توجه به اینکه اغتشاش سیستم تابعی از پارامترهای واقعی است لذا:

$$D_i + f_0 = f_{ei} \quad i = 1, 2, \dots \quad (13)$$

اندیس i معرف حالات تغییر پیش بار سیستم است. حال با تعریف:

$$\text{dist} \triangleq \sup_{t \in [0, T]} \|D_t\| \quad (15)$$

که در آن T زمان طی شده نقطه پایان کار در ربات و dist حداقل مقدار اغتشاش خارجی سیستم است و با تقسیم معادله (۱۴) بر dist می‌توان نوشت:

$$\begin{cases} w(t) + \frac{f}{\text{dist}} = \frac{f_{ei}}{\text{dist}} \\ |w(t)| \leq 1 \end{cases} \quad (16)$$

بنابر این مدل ارائه شده به صورت زیر است:

$$1(t) + \frac{f}{\text{dist}} = \frac{f_{ei}}{\text{dist}} \quad (17)$$

که در آن (t) 1 تابع پله واحد است. با تعریف:

و تعیین مرزهای فرکانسی مربوط به آن در نمودار نیکولز.^{۱۴}

(۳) شکل دهی حلقه^{۱۵} و یا طراحی تابع انتقال حلقه باز نامی سیستم با توجه به نتایج مرحله قبل و در نهایت تعیین تابع انتقال کنترل کننده سیستم.

(۴) طراحی پیش فیلتر در دیگرام بدی.

(جهت اطلاعات بیشتر در این خصوص به مراجع [۱۳] و [۱۴] رجوع شود.)

۷-۱-۳- محدودیت‌ها در کنترل ربات انعطاف پذیر

برای آنکه ربات مسیر مطلوب را تعقیب نماید و نیز میزان انرژی محرک سیستم اشباع نگردد، با درنظر گرفتن شکل (۳) محدودیت‌ها و قیود زیر را می‌توان در حوزه فرکانسی برای یک ربات انعطاف پذیر در نظر گرفت:

$$\left| \frac{\hat{e}_\theta(s)}{1/s} \right| = \left| \frac{G_p}{1 + G_p G_c^{-1}} \right| \leq \alpha \quad (1-21)$$

$$\left| \frac{\hat{f}/\text{dist}}{1/s} \right| = \left| \frac{G_p G_c^{-1}}{1 + G_p G_c^{-1}} \right| \leq \gamma \quad (2-21)$$

قضایای محدود دید

(۱) اگر $G(s)$ یک تابع انتقال پایدار با پهنهای باند محدود و $y(t) = L^{-1}\{1/s G(s)\}$ باشد و نیز اگر:

$$\begin{cases} \operatorname{Re}[G(\omega_j)] \geq 0, \|G(\omega_j)\|_\infty = \alpha, \forall \omega \leq \omega_h \\ |G(\omega_j)| \leq \frac{k}{\omega_j}, k < \infty \end{cases} \quad \text{که در آن } \{-90^\circ, 90^\circ\} = \{\omega G(j\omega) = 0\} \text{ است، آنگاه:}$$

$$|y(t)| \leq \Lambda \alpha \quad (22)$$

$$\text{که: } 1.18 + \frac{2k}{\pi r \alpha \omega_h} < \Lambda < \infty$$

با داشتن پهنهای باند^{۱۶} از مرتبه 10000 rad/s و همچنین مقدار بهره و فاز مناسب می‌توان نشان داد که $4 \leq \Lambda \leq 1$ است [۱۶ و ۱۵].

(۲) اگر علاوه بر شرط فوق، برای ورودی $w(t) : w(t) \leq 1$ داشته باشیم:

به عنوان مجموعه توابع انتقال توسعه یافته تعریف شود و در ضمن مجموعه:

$$R_s = \left\{ P(s) = \frac{P_m(s)}{Q_n(s)} ; \forall m, n ; P_m(s) = \sum_0^m p_k s^k, Q_n(s) = \sum_0^n q_k s^k, q_n \neq 1 \right\} \quad (2-20)$$

مجموعه توابع انتقال کسری خطی بازی هر n باشد، در این صورت با تعریف نرم زیر:

$$d(R, F) \triangleq \int_{-\infty}^{+\infty} \left| \frac{Q_n(j\omega) \hat{y}(j\omega) - P_m(j\omega) \hat{x}(j\omega)}{(j\omega)^n} \right|^2 d\omega$$

$$d(m, n, F_s) = \inf_{\substack{F \in F_s \\ F \in R_s}} (R, F) \quad (3-20)$$

بازی هر m و n می‌توان R^* و F^* ای پیدا نمود به صورتی که $\{d(m, n, F_s)\}$ باشد. در نتیجه m و n مناسبی می‌توان یافت که یک تابع کسری خطی از مجموعه R_s را به یکی از اعضاء مجموعه F_s نزدیک سازد. لذا از آنجا که تمامی این مجموعه از توسعه یافته‌های ورودی و خروجی اولیه در فاصله زمانی $t \in [0, T]$ قرار دارند، این تابع کسری خطی مدل خوبی از تابع انتقال بین ورودی و خروجی اولیه خواهد بود

[۱۲].

۱-۶-۶- تئوری فیدبک کمی

یکی از روش‌های طراحی سیستم کنترل در حوزه فرکانسی، روش فیدبک کمی است. اصولاً این روش برای کنترل سیستم‌هایی پایه گذاری شده است که به علت نامعینی پارامتری و اغتشاش وارد بر آن، نیاز به فیدبک وجود دارد. مسئله فیدبک کمی بین صورت مطرح می‌گردد که چه محدودیت‌هایی می‌بایست بر روی پاسخ فرکانسی تابع انتقال سیستم حلقه باز قرار گیرد تا تغییرات سیستم بسته $\frac{\Delta T}{T}$ در اثر تغییرات پارامترهای نامعین سیستم در محدوده مورد نظر واقع شوند. با تعیین تابع انتقال حلقه باز، کنترلر مورد نظر به دست می‌آید.

مراحل روش فیدبک کمی به قرار زیرند:

(۱) انتقال قیدها یا محدودیت‌هایی که در میدان زمان بر روی خروجی سیستم تعریف شده اند، به محدودیت‌هایی در میدان فرکانسی بر روی تابع انتقال حلقه باز سیستم^{۱۷}.

(۲) استخراج قیود روی تابع انتقال حلقه باز نامی سیستم

روند کلی طراحی نیز مانند حالت کنترلر معکوس مفصل می باشد با این تفاوت که در اینجا علاوه بر فیدبک زاویه مفصل، نیاز به فیدبک تغییر مکان انتهای ربات به واسطه انعطاف پذیر بودن آن (مقدار Φ_e) نیز احساس می شود که عاملی برای ایجاد اغتشاش و نویز در سیستم کنترل کننده ربات است.

ع-مثال

یک ربات تک بازویی با خصوصیات جدول (۱) را در نظر بگیرید [۲]. این ربات باید مسیر مطلوب زیر:

$$\begin{cases} \theta_d = \frac{\pi}{4}(1 - \cos \pi t) & 0 \leq t \leq 1 \\ \theta_d = \frac{\pi}{2} & t \geq 1 \end{cases} \quad (27)$$

را به صورتی طی نماید که حداقل خطای زاویه مفصل $/10^\circ$ رادیان باشد و با تغییر پیش بار ربات تا دو برابر مقدار واقعی، سیستم همچنان نسبت به تغییرات پارامترهای دینامیکی مقاوم بماند. فرض بر این است که تنها یک مود ارتعاشی سیستم تحریک می شود و از اثرات نیروهای غیر خطی و اصطکاک نیز صرف نظر می شود.

الف- یافتن خروجی تابع انتقال خط

با تعریف $G_p(s, \alpha) = \frac{f_e}{dist}$ و اینکه سیگنال f_e تابع خطی از خطای مفصل می باشد، لذا نیاز به تعیین تابع خروجی برای تابع انتقال خط داریم. در این حالت دو مدل ارتعاشی و ناپایدار در نظر گرفته می شود:

$$\begin{cases} e_{\theta 1} = R(1 - \cos \pi t) \\ e_{\theta 2} = R t^5 \end{cases} \quad (28)$$

باتوجه به اینکه f_e متناسب با خطای مفصل است و نسبت این دو، تابع انتقال پروسه را تشکیل می دهد، لذا $R = 1$ در نظر گرفته می شود.

ب- تعیین بردار خطای مودال

باتوجه به معادله (۱۰)، بردار خطای مودال به صورت عددی و با استفاده از روش گیبر ^{۱۸} به دست می آید.

$$e_\delta = h(\dot{e}_\delta, \ddot{e}_\delta, \dot{e}_\theta, \ddot{e}_\theta)$$

$$|y(t)| \leq \alpha, \exists t_1 \in [0, \infty) \text{ such that } y(t_1) = \alpha$$

در این صورت $\alpha = k(t)$ یا اگر و تنها اگر تابع انتقال G در پاسخ به تابع ضربه ^{۱۷} تغییر علامت ندهد.

نتیجه

از قضایای فوق می توان برای انتقال محدودیت ها از حوزه زمان به حوزه فرکانسی استفاده نمود.

۳- کنترلر معکوس انتهای ربات

دسته دوم کنترلر معکوس در ارتباط با کنترل انتهای ربات برای دنبال کردن مسیر مطلوب می باشد. با توجه به شکل (۴) واضح است که:

$$\theta = \theta_d - \tan^{-1}(\Phi_e \delta / L)$$

با فرض آنکه مقدار دامنه ارتعاش کوچک است، در این صورت $L/\theta_d = \Phi_e \delta$. با قرار دادن رابطه فوق در معادله دینامیکی و استخراج کنترلر معکوس در این حالت از معادلات (۵) داریم:

$$\begin{cases} m_{11d} \ddot{\theta}_d + (M_{12} - m_{11d} \Phi_e / L) \ddot{\delta}_d + n_{1d} = u_d \\ M_{12}^T \ddot{\theta}_d + (M_{22} - M_{12}^T \Phi_e / L) \ddot{\delta}_d + K \delta_d + F \dot{\delta}_d + n_{2d} = 0 \end{cases} \quad (23)$$

$$\begin{aligned} u_d &= n_{1d} + (M_{22} - \Phi_e M_{12} / L)^{-1} [(m_{11d} M_{22} - M_{12}^2) \\ &\quad \ddot{\theta}_d + (m_{11d} \Phi_e / L - M_{12}) (n_{2d} + K \delta_d + F \dot{\delta}_d)] \end{aligned} \quad (24)$$

در نتیجه، معادله دینامیکی سیستم به صورت زیر در می آید:

$$\begin{cases} u = n_1 + (M_{22} - \Phi_e M_{12} / L)^{-1} [(m_{11} M_{22} - M_{12}^2) \theta_d + (m_{11} \Phi_e / L - M_{12}) \dot{\theta}_d + K \delta_d + F \dot{\delta}_d] \\ n_1 = n_1(\theta_d, \dot{\theta}_d, \delta, \dot{\delta}) \quad n_2 = n_2(\theta_d, \dot{\theta}_d, \delta, \dot{\delta}) \end{cases} \quad (25)$$

که در آن e_δ خطای انتهای ربات بوده که به صورت زیر تعریف می شود:

$$e_\delta \triangleq \theta_d - (\theta + \Phi_e \delta) \quad (26)$$

۵- تعیین مرز محدودیت بر روی توابع انتقال

همانگونه که در قسمت محدودیت‌ها در مسئله کنترل ربات انعطاف پذیر بیان گردید و همچنین از فرض صورت مسئله داریم که $0.01 \leq \omega_0 \leq 1.5$ و با قرار دادن محدودیت $|f_{ei}| \leq \frac{f_{ei}}{dist}$ و با توجه به قضیه محدودیت و تعاریف \hat{e}_θ و \hat{e}_δ در حوزه فرکانسی براساس شکل (۳)، می‌توان محدودیت‌های زیر را بر روی پاسخ فرکانسی سیستم حلقه باز به دست آورد:

$$\left| \frac{G_p}{1+L} \right|_{s=j\omega} \leq \frac{0.01}{6} \quad \text{محدودیت به واسطه دقت در مفصل:}$$

$$\left| \frac{L}{1+L} \right|_{s=j\omega} \leq \frac{9}{6} \quad \text{محدودیت به واسطه عدم اشباع محرک:}$$

ضریب $A = 6$ بدین علت انتخاب شده است که با تعریف مدل کنترلی جدید و قضیه محدودیت دوم، توابع انتقال فوق به واسطه تعیین تابع کنترل $(s)^{-1} G$ در پاسخ به ورودی ضربه، تغییر علامت ندهند.

۶- ایجاد مرزهای فرکانسی

باتوجه به تعریف تابع انتقال مدار باز و نقطه نامی آن می‌توان نوشت:

$$\begin{cases} L = G_p(s, \alpha) G^{-1}(s) \\ L_0 = G_{p0}(s) G^{-1}(s) \end{cases} \Rightarrow L = \frac{G_p(s, \alpha)}{G_{p0}(s)} L_0$$

و لذا محدودیت‌ها به صورت:

$$\left| \frac{G_{p0}}{G_{p0}/G_p + L_0} \right|_{s=j\omega} \leq \frac{0.01}{6}, \quad \left| \frac{L_0}{G_{p0}/G_p + L_0} \right|_{s=j\omega} \leq \frac{9}{6}$$

در می‌آیند که در شکل (۶) به صورت مرزهای مجاز نشان داده شده‌اند.

۷- شکل دهی حلقه

پس از مشخص شدن مرزهای فرکانسی، قدم بعدی آن است که تابع انتقال مدار باز نامی به نحوی اختیار شود که در هر فرکانس در بالا و یا حداقل بر روی مرز فرکانسی مربوط به خودش قرار گیرد که در این صورت کمترین بهره را دارا خواهد بود. همچنین علاوه بر برآورده کردن شرط فوق، کنترلر نیز باید پایدار باشد. در این مثال، $L_0 = \frac{1200(s/0.05 + 1)(s/35 + 1)}{s^2(s + 1)}$ در شکل (۷) نیز نشان داده شده است، شرایط مرزی

ج- تعیین ورودی‌های تابع انتقال خط

با تغییر پیش بار با ظرفیت صفر و باز مورد نظر و دو برابر بار واقعی و اینکه نقطه طراحی بر اساس ربات بدون بار در نظر گرفته شود، «ورودی‌های تابع انتقال خط» و مقدار اغتشاش مدل شده به صورت زیر به دست می‌آیند:

$$\begin{cases} D_i = u_{d0} - u_{di} \\ f_{ei} = A_i \hat{e}_\theta + B_i \hat{e}_\theta + C_i \hat{e}_\delta + E_i e_\delta \end{cases} \quad i = 1, 2$$

$$dist = \max \{ \sup |D_1|, \sup |D_2| \} = 2.33$$

د- تعیین تابع انتقال خط

اینک با داشتن خروجی‌ها و ورودی‌های گوناگون و براساس قضیه تبدیل، یک تابع انتقال نامعین برحسب مقادیر $m=2$ و $n=3$ به صورت زیر به دست می‌آید:

$$G_p(s, \alpha) = \frac{0.02 s^2 + a s + 2}{s^2(s + b)}, \quad \alpha = \begin{bmatrix} a \\ b \end{bmatrix}$$

و نامعینی‌های پروسه براساس دو دسته خروجی سیستم، به فرم جدول (۲) است. برای آنکه تابع انتقال به دست آمده به سیستم واقعی نزدیک باشد، می‌بایست خروجی‌های متفاوتی مورد بررسی قرار گرفته و دامنه نامعینی‌های هم ارز هر کدام به اجتماع گذشته شود. لذا در اینجا باتوجه به خروجی‌های محدود، پس از تعیین حدود نامعینی، مقداری افزایش دامنه برای نامعینی پروسه خطأ در نظر گرفته می‌شود:

$$a \in [1, 10] \quad a_0 = 3$$

$$b \in [0.1, 5] \quad b_0 = 1$$

برای طراحی به روش فیدبک کمی، نیاز به یک نقطه نامی است که با در نظر گرفتن مقادیر نامی برای نامعینی‌های سیستم، تابع انتقال خطی نامی به صورت زیر به دست می‌آید.

$$G_{p0}(s) = \frac{0.02 s^2 + 3 s + 2}{s^2(s + 1)}$$

شکل (۵) خروجی‌های سیستم در دو حالت خروجی مدل شده به ازای ورودی‌های مورد نظر در حالت واقعی و عبور از تابع انتقال خطی نامی و شبیه سازی خروجی را نشان می‌دهد. واضح است که تابع انتقال خطی نامی پروسه به طور مناسب اختیار شده است.

فوق را برآورده می نماید.

ح- اقتباس کنترلر $G(s)$

باتوجه به رابطه $(s) = L_0(s)/G_{p0}(s) = G_c(s)$ ، کنترلر اصلی سیستم به صورت زیر به دست می آید:

$$G_c(s) = 9.57 \times 10^6 \frac{(s + 0.05)(s + 35)}{(s^2 + 150s + 100)(s + 1200)}$$

۴- شبیه‌سازی

در شبیه‌سازی سیستم واقعی غیرخطی، دسته معادلات زیر به طور همزمان به ازای تغییرات بار حل می گردند:

$$G(s) \hat{e}_\theta = \hat{f}(s) \Rightarrow (9.6 \times 10^6 (\theta_d - \theta) + 35.5 (\theta_d - \theta) + 17.5 (\theta_d - \theta)) = \ddot{f} + 1350 \dot{f} + 18 \times 10^5 f + 1.5 \times 10^5 f$$

$$\begin{cases} m_{11i}\ddot{\theta}_d + M_{12i}\ddot{\delta}_d = u_d + f \\ M_{12i}^T\ddot{\theta}_d + M_{22i}\ddot{\delta}_d + K_i\delta_d = 0 \\ u_d = (m_{11d} - M_{12}M_{22}^{-1}M_{12}^T)\ddot{\theta}_d - M_{12}M_{22}^{-1}K\delta_d \end{cases} \quad i = 0, 1, 2$$

شکل (۸) تغییرات زاویه مفصل شبیه‌سازی شده در فاصله زمانی ۲ ثانیه را نشان می دهد. شکل (۹) منحنی های خطای مفصل در سه حالت بارگذاری شده را نمایش می دهد. همچنین با توجه به محدودیت های در نظر گرفته شده:

$$\left| \frac{L}{1+L} \right| \leq 9 \Rightarrow \left| \frac{f}{dist} \right| \leq 9 \Rightarrow |f| \leq 9 \times 2.326 \Rightarrow |f| \leq 20.9$$

شکل (۱۰) مقدار گشتاور خطای (f) در سه نوع حالت بارگذاری را نشان می دهد که با مقدار به دست آمده با محاسبات فوق همخوانی دارد.

در نهایت سیگنال گشتاور کل ربات از مجموع کنترل معکوس و سیگنال (f) بدست می آید (شکل ۱۱).

۴- ۳- اثرات نیروهای غیرخطی و افزایش دقت

با وارد کردن نیروهای غیرخطی به معادله دینامیکی، فرم تابع انتقال خطای پروسه نیز تغییر می کند و با بازسازی مجدد آن داریم:

$$G_p(s, \alpha) = \frac{3s^2 + as + 2}{s^2(s^2 + bs + 2)} \quad a \in [14, 164] \quad a_0 = 20$$

$$G_{p0}(s) = \frac{3s^2 + 20s + 2}{s^2(s^2 + 5s + 2)} \quad b \in [3.9, 176] \quad b_0 = 5$$

همچنین دقت خطای مفصل را به $0.001 = e_0$ رادیان افزایش می دهیم در این صورت مقدار حدی بر روی محدودیت ها را نیز تصحیح می کنیم. با شکل دهی حلقه به صورت مناسب بر روی باندهای به دست آمده که در شکل (۱۲) نشان داده شده است، کنترلر جدید به صورت زیر به دست می آید:

$$G_c(s) = \frac{3.68 \times 10^8 (s + 0.004)(s^2 + 5s + 2)(s^2 + 130s + 10^4)}{(s + 0.016)(s + 150)(s^2 + 6.7s + 0.67)(s + 500)(s + 2000)}$$

توجه شود که افزایش دقت موجب می گردد که سیستم با سرعت بیشتری به خطای وارد شده عکس العمل نشان دهد که این عامل موجب افزایش پهنای باند کنترلر و حرکت باندهای فرکانسی به سمت مقادیر اندازه بالاتر تابع انتقال حلقة باز سیستم می گردد.

شکل (۱۳) میزان خطای مفصل را برای بار در نظر گرفته شده در دو حالت وجود عدم وجود نیروهای غیرخطی نشان می دهد. همانطور که دیده می شود هر دو منحنی های به دست آمده در محدوده دقت مورد نظر طراحی واقع شده اند و همچنین اثر عوامل غیرخطی که موجب کاهش دامنه ارتعاشات می گردد نیز دیده می شود. لذا عوامل غیرخطی و اصطکاک دارای اثرات مثبت در کاهش ارتعاشات و پایداری سیستم هستند.

شکل (۱۴) مقدار گشتاور لازم را در دو حالت مذکور به ترسیم کشیده است. همانطور که مشاهده می شود مقدار این گشتاورها در دو حالت به یک میزان بوده و وجود عوامل غیرخطی، توان بیشتری را از سیستم طلب نمی کند.

۴- ۴- استفاده از کنترلر معکوس انتهای ربات
از آنجا که انتهای ربات همواره به عنوان موقعیت قرار گرفتن ابزار کار فرض می شود، لذا مسیر مطلوب در انتهای ربات جهت دقت بالا در انجام کار اهمیت پیدا می کند. شکل (۱۵) خطای انتهای ربات تصویر شده در جهت محور x را نشان می دهد.

معیار جهت سنجش خطای انتهای ربات تک بازویی می باشد.

طراحی با دقت بالا در حالت کنترلر معکوس مفصل دارای خطای حدود ۵ سانتی متر می باشد (شکل ۱۶). لذا بحث در مورد کنترلر معکوس انتهای ربات برای عملیات با دقت بالا اهمیت می یابد. براساس معادله (۲۵)

$$\left| \frac{1}{1+L} \right| = \left| \frac{e_f}{d_2} \right| \leq 2$$

$$e_f \leq 0.01 \text{ Rad}$$

$$\left| \frac{\hat{f}/\text{dist}}{1/s} \right| \leq 1.8$$

با به دست آوردن کنترلر مطلوب و شبیه سازی سیستم حلقه بسته، منحنی خطای انتهای ربات با داشتن محدودیت حداکثر ظرفیت محرک سیستم، در باند مطلوب مورد نظر قرار می گیرد (شکل ۲۱). همچنین می بایست در نظر داشت که با افزایش دقت e_f ، هیچ باند فرکانسی در مسئله فیدبک کمی حاصل نمی شود و لذا کنترلری نیز وجود ندارد که توانایی برآورده کردن این افزایش دقت را داشته باشد.

۵- نتیجه

با داشتن فرم صحیحی از معادلات دینامیکی ربات و اقتباس فرم خطی آن، می توان تابع انتقال نامعینی در حوزه فرکانسی به یک ربات تک بازویی نسبت داد به نحوی که قابل استفاده در یک مسئله فیدبک کمی باشد. با استفاده از تئوری فیدبک کمی توانایی یافتن کنترلری جهت اجرای عملکردهای مناسب بر روی ربات تک بازویی هموار می شود. کنترلر به دست آمده در دو حالت تعقیب مسیر در فضای مفصل و فضای کارتزین با موفقیت، خواسته طراح را برآورده ساخت. وجود کنترلر، وابسته به یافتن مرزهای فرکانسی می باشد که این مرزها نیز تابعی از قیود و محدودیت های در نظر گرفته شده هستند.

زیرنویس ها

- 1 - Structural uncertainty
- 2 - Quantitative feedback theory
- 3 - Finite element method
- 4 - Normal mode analysis
- 5 - Transfer function
- 6 - Lumping techniques
- 7 - Pre-load
- 8 - Desired trajectory
- 9 - Inversion control
- 10 - Joint space
- 11 - Cartesian space

و تعریف e_f از معادله (۲۸)، تابع انتقال پروسه خطای صورت زیر در می آید:

$$G_p(s, \alpha) = \frac{a S^2 + b S + 2}{S^2(S^2 + 100 S + 1.7)}$$

$$a \in [0, 22] \quad a_0 = 1$$

$$b \in [420, 640] \quad b_0 = 500$$

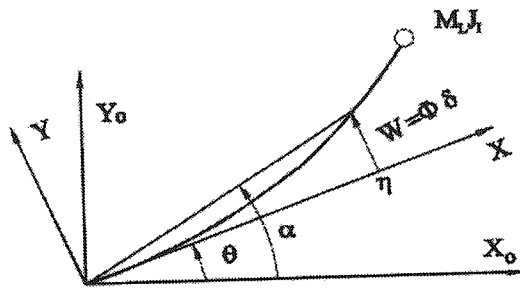
$$\text{dist} = 4.1382$$

برای داشتن دقت $0.001 \leq e_0$ رادیان، شکل دهی حلقه بر روی مرزهای به دست آمده از محدودیت ها را اعمال می سازیم و از آن کنترلر به فرم زیر حاصل می شود.

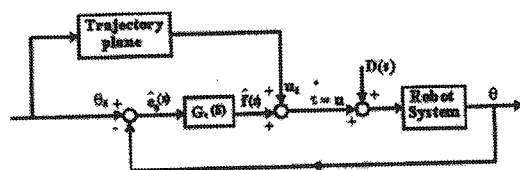
$$G_c(s) = \frac{6.4 \times 10^{11} (S + 100)(S + 2000)(S^2 + 180S + 14400)}{(S + 180)(S + 500)(S + 3000)(S + 4500)(S + 6000)}$$

اشکال (۱۷) و (۱۸) به ترتیب میزان خطای انتهای ربات و مقدار e_f را بعد از شبیه سازی نمایش می دهند. واضح است که روش مربوطه بسیار ایده آل عمل می کند لیکن با توجه به تعریف e_f از رابطه (۲۶) مشخص است که برای داشتن خطای انتهای ربات نیاز به فیدبک از تغییر مکان انتهای ربات است. به علت آفشتہ بودن اندازه گیری با نویز خطای چنانچه فیدبک تغییر مکان انتهای ربات با ده درصد خطای با دو برابر فرکانس ارتعاش بازو به نویز آفشته گردد، با توجه به محدودیت بر روی کنترلر (در این مثال حداکثر ۱۱۰ نیوتون - متر برای گشتاور محرک سیستم)، مقدار خطای انتهای ربات از میزان روش کنترلر معکوس مفصل بالاتر می رود. لذا تنها با داشتن یک کنترلر ارزان توانایی مهار خطای مفصل و نویز وجود دارد که در این صورت نیاز به گشتاور بالایی از سیستم می باشد (شکل ۱۹) و این امر موجب بزرگ شدن محرک سیستم و افزایش اینرسی آن می گردد (یکی از عواملی که سبب استفاده از ربات های انعطاف پذیر می گردد کاهش اینرسی سیستم است). این امر مناسب اهداف طراحی اینگونه ربات ها نمی باشد.

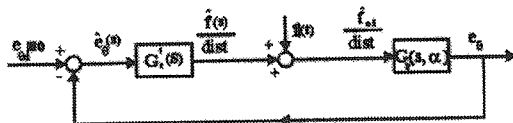
اگر مسئله فیدبک کمی را به روشی دیگر بررسی کنیم و به دیاگرام جعبه ای شکل (۲) خطای حاصل از اغتشاش اندازه گیری را نیز اضافه کنیم (شکل ۲۰)، در این صورت با محدود کردن دامنه خطای مسئله فیدبک کمی را مجدداً حل نموده و در صورت به دست آوردن باندهای فرکانسی، کنترلر مطلوب حاصل می شود. در این مثال، محدودیت های زیر در نظر گرفته شده است:



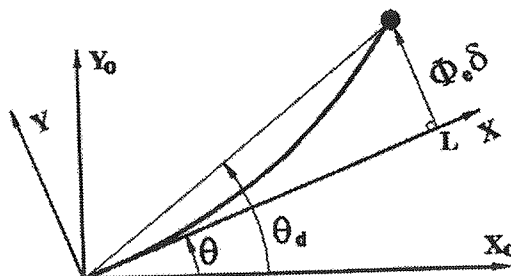
شکل (۱) نمای شماتیک از یک ربات تک بازویی.



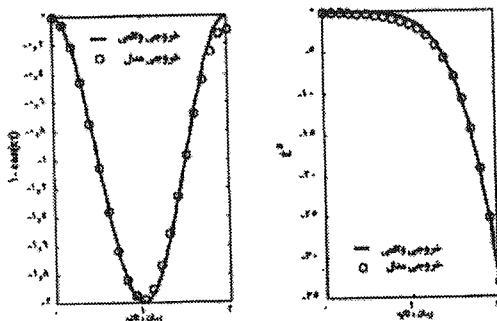
شکل (۲) نمایی از فرم کنترل سیستم.



شکل (۳) مدل خطی سیستم ربات تک بازویی.



شکل (۴) تغییر مکان انتهای ربات.



شکل (۵) شبیه سازی خروجی های رابطه (۲۸).

12 - Off-line

13 - Nominal open - loop transfer function

14 - Nichols' chart

15 - Loop - shaping

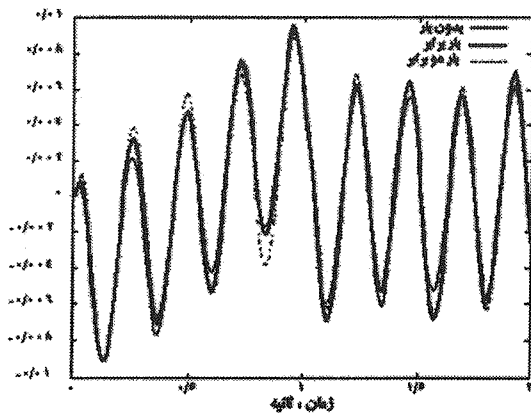
16 - Bandwidth

17 - Impulse function

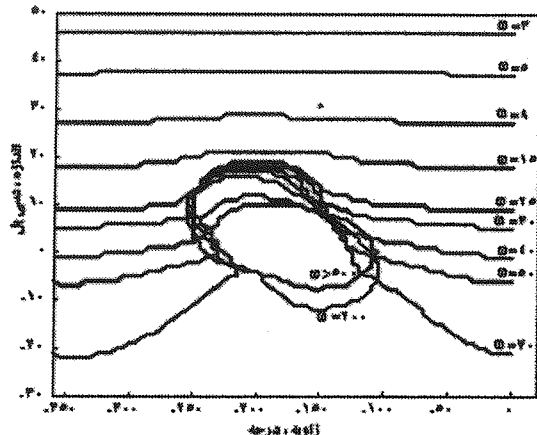
18 - Gear method

فهرست علائم

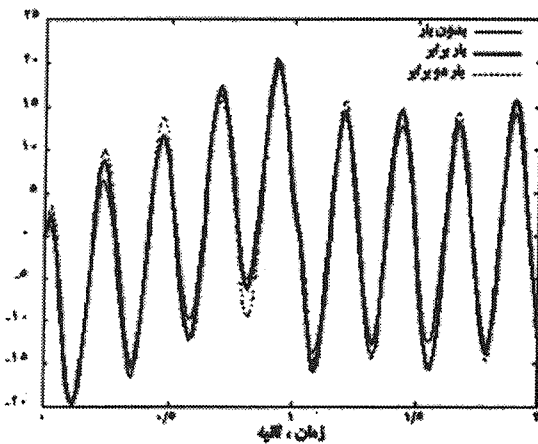
D	اغتشاش وارد بر سیستم، نیوتن - متر، معادله (۱۴)
d	معرف مقادیر اقتباس شده از مسیر مطلوب است.
e _f	خطای انتهای ربات، متر، معادله (۲۶)
e _θ	خطای زاویه مفصل، رادیان، معادله (۶)
e _δ	بردار خطای مودال، رادیان، معادله (۶)
F	ماتریس استهلاک ربات، نیوتن برمتر، معادله (۵)
F (s)	تابع انتقال توسعه یافته، معادله (۱-۲۰)
f	سینکل کنترلر فعل در مسیر، نیوتن متر، معادله (۱۱)
G _c (s)	کنترلر مربوط به مدل، معادله (۱۹)
G' _c (s)	کنترلر مربوط به سیستم واقعی، معادله (۱۸)
G' _p (s, a)	تابع انتقال خط، معادله (۱۸)
K	ماتریس سختی ربات، نیوتن - متر، معادله (۵)
M _{ij}	درایه های ماتریسی، برداری و اسکالار ماتریس سختی، معادله (۵)
m	درجه صورت تابع انتقال
n	درجه مخرج تابع انتقال
n _i	نیروهای غیرخطی ربات، نیوتن متر، معادله (۵)
R (s)	تابع انتقال کسری خطی، معادله (۲-۲۰)
S	متغیر میدان فرکانسی
T	زمان طی شدن مسیر مطلوب، ثانیه
u _d	کنترلر معکوس مطلوب، نیوتن متر، معادله (۹)
W	تغییر مکان الاستیکی ربات، متر، معادله (۱)
ω	فرکانس، رادیان بر ثانیه
x (t)	ورودی سیستم، معادله (۲۲)
y (t)	خروجی سیستم
θ	زاویه مفصل، رادیان، معادله (۵)
θ _d	مسیر مطلوب، رادیان
δ	بردار مودال، رادیان، معادله (۲)
δ _d	بردار مودال مطلوب، رادیان
Φ	بردار دامنه ارتعاشی، متر بر رادیان، معادله (۳)



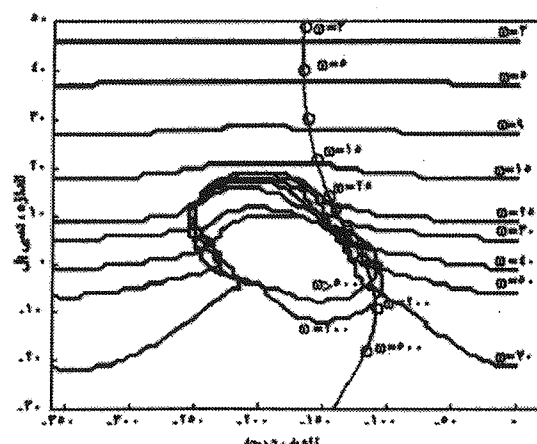
شکل (۹) خطای زاویه منفصل ریات در سه نوع حالت بارگذاری.



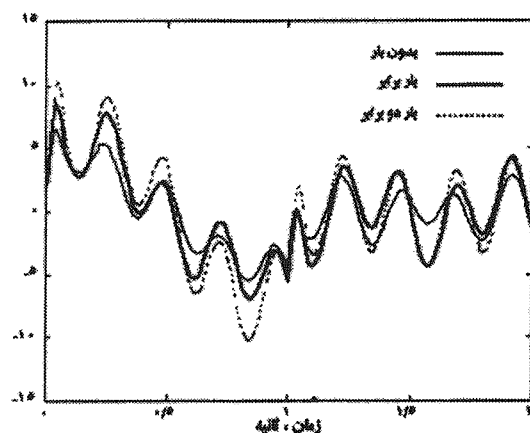
شکل (۶) باندهای فرکانسی تابع انتقال حلقة باز سیستم.



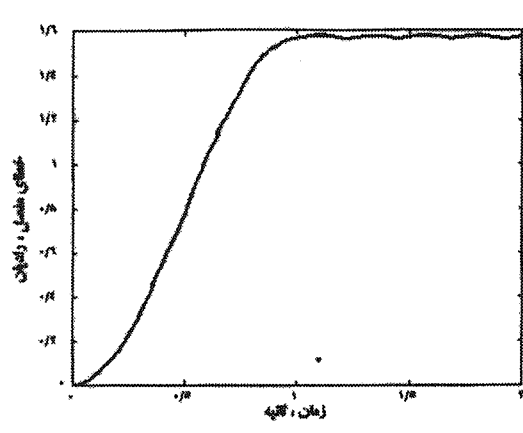
شکل (۱۰) مقدار گشتاور خطا در سه نوع حالت بارگذاری.



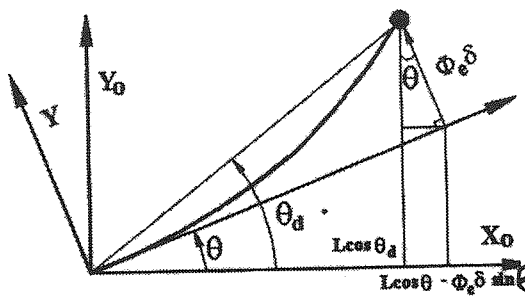
شکل (۷) شکل دهی تابع انتقال حلقة بازنامی.



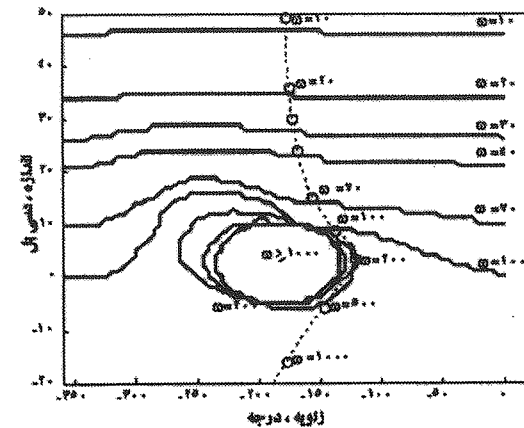
شکل (۱۱) مقدار گشتاور لازم ریات جهت تعقیب مسیر مطلوب.



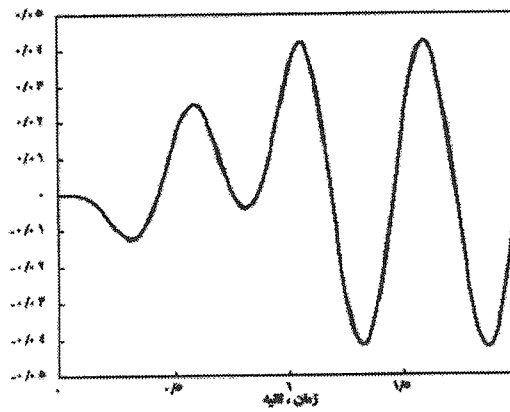
شکل (۸) تغییرات زاویه منفصل به ازای کنترلر طراحی شده سیستم.



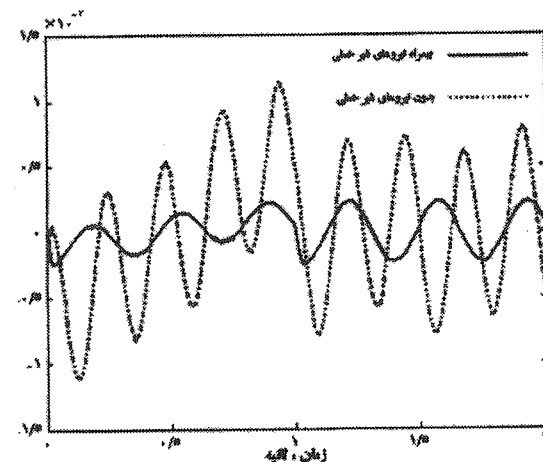
شکل (۱۵) نمایی از تصویر خطای بر روی محور افقی.



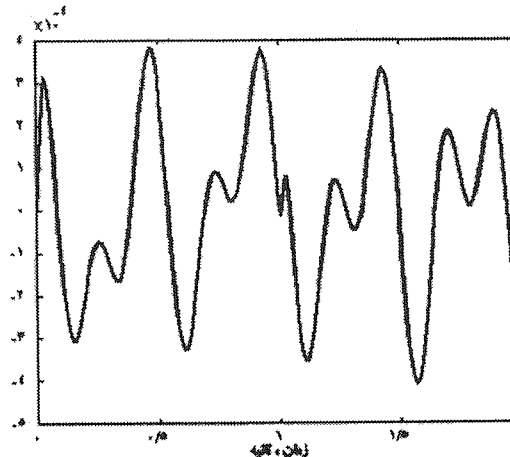
شکل (۱۶) باندهای فرکانسی به همراه شکل دهی حلقه.



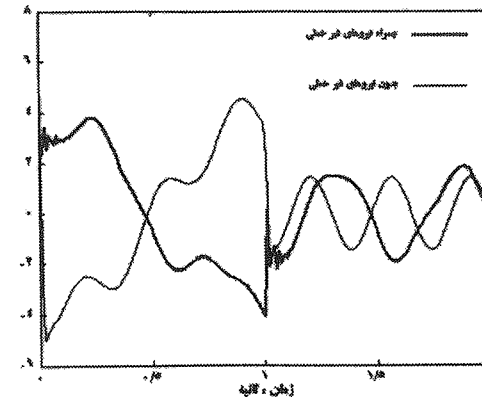
شکل (۱۷) مقدار v_x با داشتن عملکرد دقت بالای سیستم.



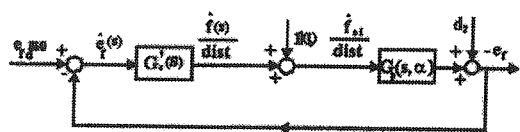
شکل (۱۸) خطای زاویه مفصل در دو حالت وجود و عدم وجود نیروهای غیرخطی.



شکل (۱۹) شبیه‌سازی خطای انتهای ربات با استفاده از فیدبک خطای زاویه مفصل و بردار خطای مودال بازی بار واقعی.



شکل (۲۰) مقدار گشتاور لازم جهت کنترل ربات در دو حالت وجود و عدم وجود نیروهای غیرخطی.



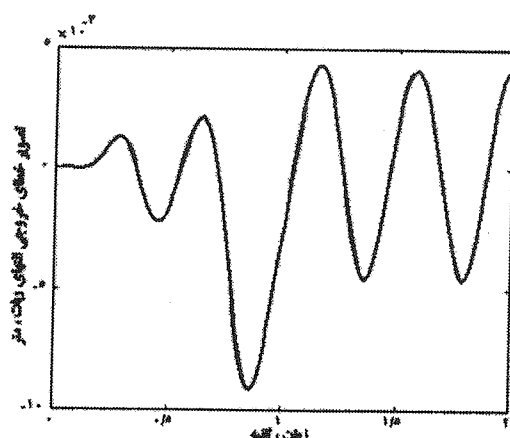
شکل (۲۱) شبیه‌سازی سیستم ربات به همراه کنترل اخنشاشات وارد برآن.

جدول (۱) پارامترهای فیزیکی مربوط به مثال.

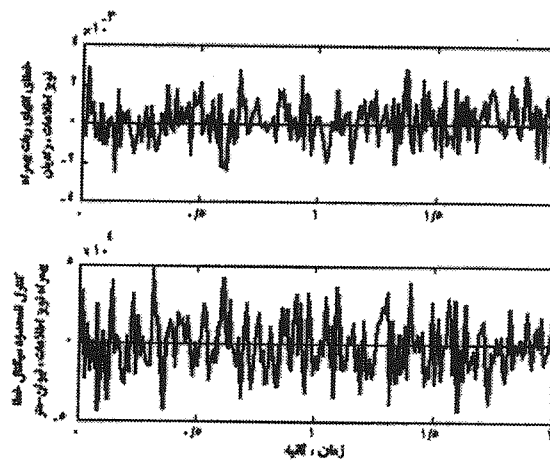
$L = 1.2 \text{ m}$	طول بازو
$m_b = 0.336 \text{ kg}$	جرم بازو
$M_L = 0.1 \text{ kg}$	جرم بار
$J_L = 5 \times 10^{-4} \text{ kg.m}^2$	اینرسی جرمی بار
$J_0 = 0.1613 \text{ kg.m}^2$	اینرسی جرمی نسبی
$\rho = 2800 \text{ kg.m}^3$	جرم حجمی
$E = 7 \times 10^9 \text{ N.m}^2$	مدول الاستیسیته
$I = 0.83 \times 10^{-9} \text{ m}^4$	مان اینرسی سطح مقطع
$I_c = 0.5 \text{ kg.m}^2$	اینرسی جرمی محرك
$A = 10^{-4} \text{ m}^2$	سطح مقطع

جدول (۲) تغییر پارامترهای تابع انتقال مدل شده براساس مقدار بار و نوع خروجی

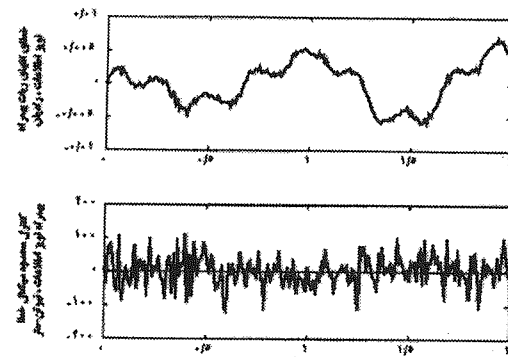
شكل خروجی	میزان بار	صفر	یک برابر	دو برابر
$1 - \cos(\pi t)$	a	$2/48$	$2/2$	$2/95$
	b	$0/56$	$0/81$	$1/05$
t^5	a	$2/94$	$2/8$	$2/7$
	b	$0/12$	$0/22$	$0/12$



شکل (۱۸) تصویر افقی خطای انتهای ربات با استفاده از فیدبک خطای زاویه مفصل و بردار خطای مودال بازای بار واقعی.



شکل (۱۹) شبیه سازی سیستم ربات آغشته به نویز.



شکل (۲۰) دیاگرام جعبه‌ای سیستم شبیه سازی شده به همراه ورودی نویز.

- [1] Angeles, J. and Dancose, S., "Modeling and Simulation of Flexible Beams Using Cubic Splines and Zero-Order Holds," Proceedings of the Int. Symposium MTNS-89, Vol. 2, pp. 553-564, 1990.
- [2] Deluca, A and Siciliano, B., "Trajectory Control of a Non-Linear One - Link Flexible Arm," Int. Jour. Control, Vol. 50, No. 5, pp. 1699-1715, 1989.
- [3] Horowitz, I. and Shaked, U., "Superiority of Transfer Function Over State-Variable Method in Linear Time-Invariant Feedback System Design," I.E.E.E Trans. on Automatic control, Vol. AC-20 No. 1, pp. 742-760, Feb. 1975.
- [4] Bayo, E. "A finite-Element Approach to Control the End-Point Motion of a Single-Link Flexible Robot," Jour. of Robotic Sys., Vol. 4, No. 10, pp. 1444-1450, 1987.
- [5] Meirovitch, L., Elements of Vibration Analysis, McGraw-Hill, 1990.
- [6] Skaar, S.B. and Tucker, D., "End-Point Control of a One-Link Flexible Manipulator," ASME Jour. of Applied Mechanics, Vol. 53, pp. 23-27, 1986.
- [7] Meghdari, A. and Ghassempouri, M., "Dynamics of Flexible Manipulators," Int. Conf. on Eng. Applications of Mechanics, IRAN, Tehran, pp. 282-297, June 1992.
- [8] Yuan, K. and Hu, CM., "Nonlinear Modeling and Partial Linearizing Control of a Slewing Timoshenko-Beam," ASME Jour. of Dynamic Systems, Measurement, and Control, Vol. 118, pp. 75-83, March. 1996.
- [9] Usoro, P. B., and Nadira, R., "A Finite Element/ Lagrange Approach to Modeling Light Weight Flexible Manipulators," Transaction of the ASME Jour. of Dynamic Systems, Measurement and Control, pp. 198-205, 1986.
- [10] Craig, J. J., Introduction to Robotics Mechanics and Control, Addison-Wesley, 1989.
- [11] Horowitz, I., "Improvement in Quantitative Non-Linear Feedback Design by Cancellation," Int. J. Control, Vol. 34, No. 3, pp. 547-560, 1981.
- [12] Horowitz, I. and Glubev, B., "Plant Rational Transfer Approximation form Input-Output Data," Int. J. Control, Vol. 36, No.4, pp. 711-723, 1982.
- [13] Horowitz, I., "Survey of Quantitative Feedback Theory," Int. Jour. of Control, Vol. 53, No. 2, pp. 255-291, 1991.
- [14] Horowitz, I. and Sidi, M. "Synthesis of Feedback Systems with Large Plant Ignorance for Prescribed Time-Domain Tolerances," Int. Jour. Control, Vol. 16, pp. 287-309, 1972.
- [15] Jayasuriya, S. and Francheck, M.A. "Controller Design for Performance Guarantees in Uncertain Regulating Systems," Int. Jour. Control, Vol. 61, No. 1, pp. 127-148, 1995.
- [16] Sobhani, M. and J. Jayasuriya, S. "Controller Design for Maximizing the Size of a Step Disturbance in Non-Minimum Phase Uncertain Systems," Int. Jour. Control, Vol. 59, No. 2, pp. 561-581, 1994.
- [17] Jayasuriya, S. "QFT Type Design for Maximizing Tolerable Disturbances in Structured Uncertain Systems," Int. Jour. Control, Vol. 56, No. 1, pp. 67-85, 1992.